

有限元超精简入门教程

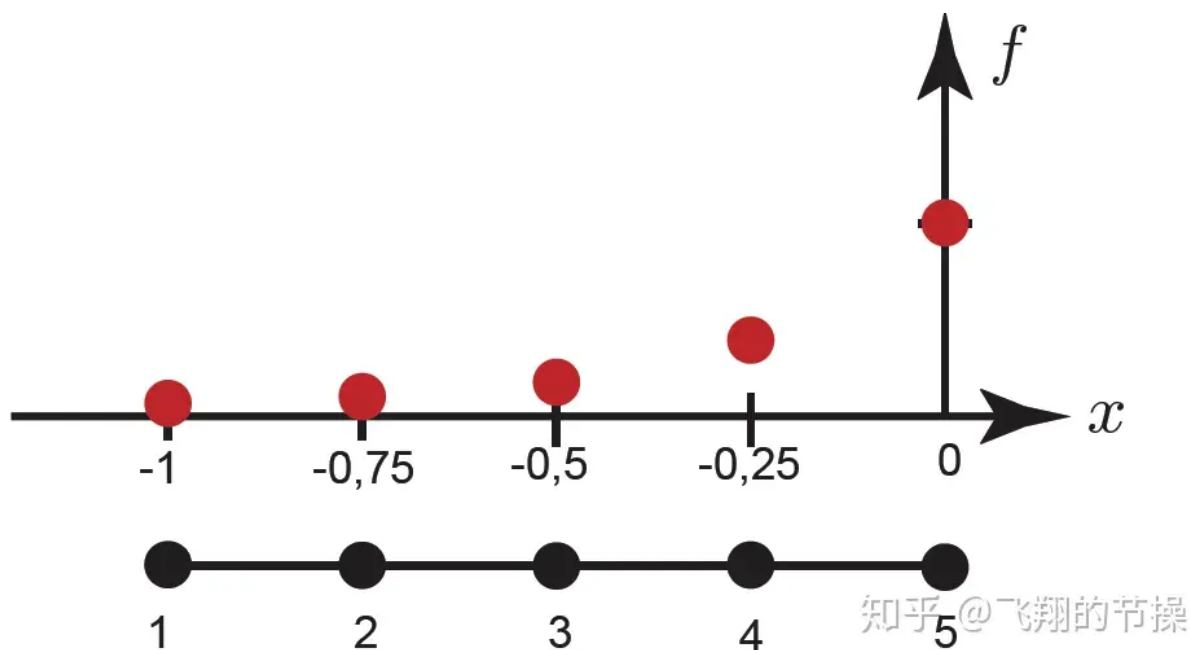
1055 赞同 · 63 评论 · 3394 收藏

我在网上搜了一下，发现好像讲有限元入门的一来就是什么“最小势能原理”，我觉得很恶心，于是想自己写一个精简教程。需要一点微积分和线性代数的知识。具体可以参考书籍。

有限元方法是计算机数值计算偏微分方程的一种普遍方法。

这里有一个简单偏微分方程： $f(x) = \frac{\partial f}{\partial x}, x \in [-1, 0]$ ，已知初始条件： $f(0) = 1$

为了求解这个偏微分方程，可以将该函数离散为若干个节点，如下图将该函数离散为了5个节点和四个单元。



因此除去初始条件，得到了4个未知的节点：

$$f(x_1) = f'(x_1)$$

$$f(x_2) = f'(x_2)$$

$$f(x_3) = f'(x_3)$$

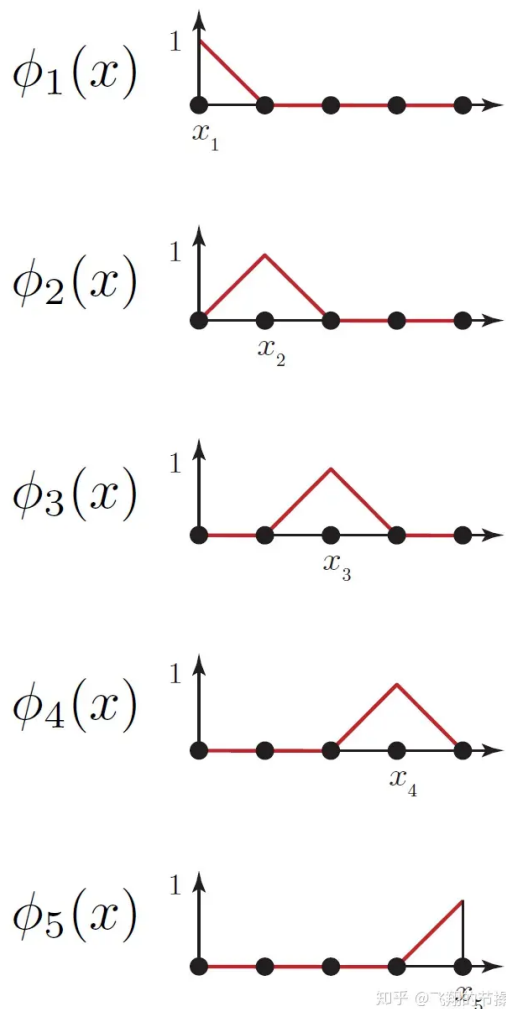
$$f(x_4) = f'(x_4)$$

$$f(x_5) = f'(x_5) = 1$$

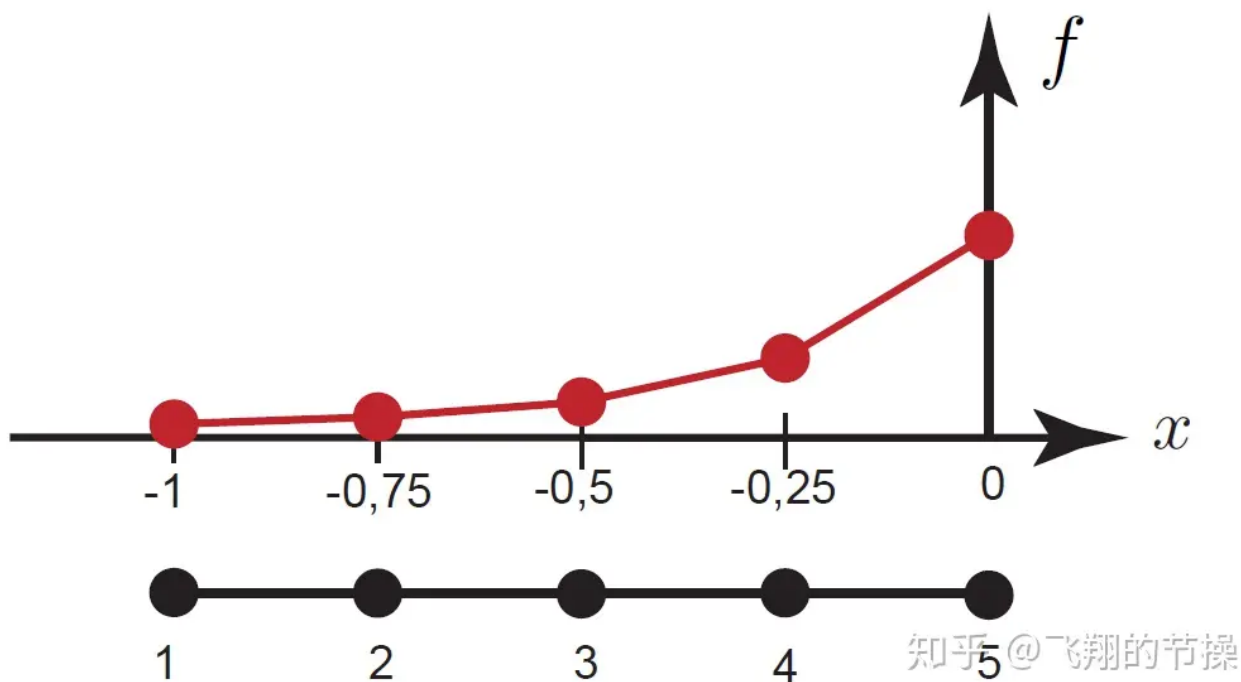
将这五个点用线链接起来，得到一个连续的函数图像，利用该连续图像来求解函数的偏导数。
那么如何将这五个点链接起来呢？

一，插值多项式

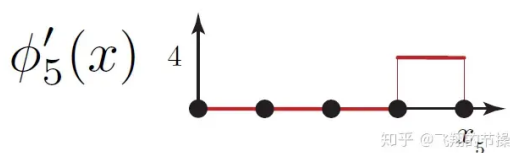
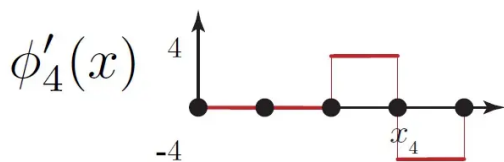
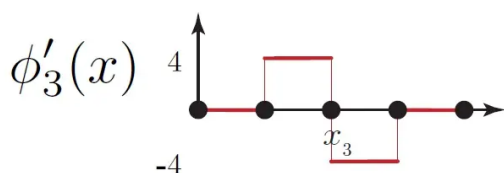
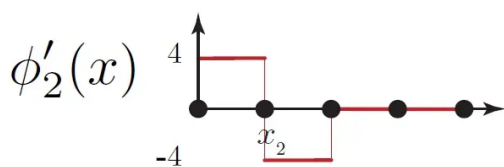
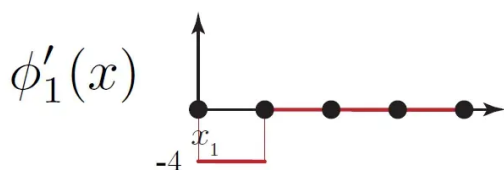
对于以上有五个节点的函数 f ，可以建立五个如图的插值函数：

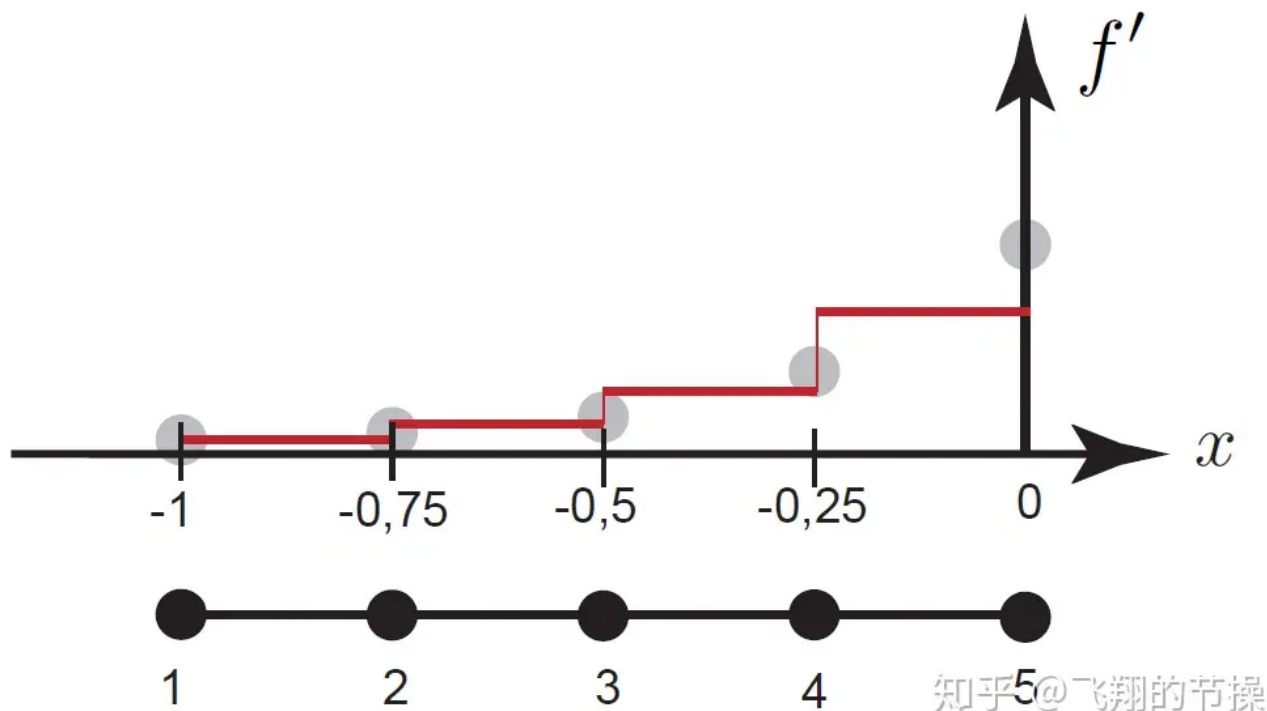


由此可以得到一个函数 f 的近似函数：
$$f(x) \approx \sum_{k=1}^N f_k \phi_k(x)$$
 其中， f_k 是第 k 个节点的函数值，当然，此时的 f_k 是作为未知量的存在，在这个新的近似函数中， $\phi_k(x)$ 则是完全已知的函数。由此可以得到链接节点后的函数图像：



由于 $\phi_k(x)$ 是已知的，并且 f_k 是常数，因此对近似函数求导： $f'(x) \approx \sum_{k=1}^n f_k \phi'_k(x)$ 可以得到新的导数图像：





但是此时，四个未知量，还是无法求解，怎么办呢？

二，变分法与偏微分方程的弱变形

变分原理，起源于上古时期提出的问题，一个小球在重力作用下从A点滑落到B点，AB路径是什么曲线时，小球滑落的用时最短。这里不展开赘述，具体可以翻看分析力学等书籍。

提问：有没有一个函数 $g(x)$ ，使得函数 $f(x)$ 和 $g(x)$ 在某个确定的区间一致？

强形式，即是 $f(x) = g(x), \forall x \in \Omega$ ，两个函数点对点一致。

那么弱形式，即是两个函数的卷积相等：
$$\int_{\Omega} w(x)f(x)d\Omega = \int_{\Omega} w(x)g(x)d\Omega, \forall w(x)$$

$w(x)$ 是一个测试函数，它可以是任意函数。但是根据变分原理，函数的边界值为0.

接着上面的例子： $f(x) = f'(x)$

移项并乘以测试函数： $w(x)(f(x) - f'(x)) = 0$

积分：
$$\int_{-1}^0 w(x)(f(x) - f'(x))dx = 0$$

而它与强形式等价的条件，则是 $\forall w(x)$

别忘了函数 f 和它的导数 f' 的插值近似，将其带入上面的积分形式：

$$\int_{-1}^0 w(x)(f_1\phi_1(x) + f_2\phi_2(x) + \dots + f_5\phi_5(x) - f_1\phi_1'(x) - f_2\phi_2'(x) - \dots - f_5\phi_5'(x))dx = 0$$

$w(x)$ 可以是任意函数，但是为了简便，这里用 $\phi_i(x)$ 替换 $w(x)$ (Galerkin法)

$$\text{也就是 } \int_{-1}^0 \phi_i(x) \left(\sum_{k=1}^5 f_k \phi_k(x) - \sum_{k=1}^5 f_k \phi_k'(x) \right) dx = 0$$

不要忘了上面的积分中，包含了一个已知节点，和四个未知节点。接下来分离已知量和未知量：

$$\int_{-1}^0 \phi_i(x) \left(\sum_{k=1}^4 f_k \phi_k(x) - \sum_{k=1}^4 f_k \phi_k'(x) \right) dx = -f_5 \int_{-1}^0 \phi_i(x) (\phi_5(x) - \phi_5'(x)) dx$$

已知边界要抽离到right hand side

由此我们得到了一个方程。

但是四个未知量至少需要四个方程才能解，所以还需要遍历未知节点的 $\phi_i(x)$ ，得到一个线性方程组：

$$\begin{bmatrix} \int_{-1}^0 \phi_1(x)(\phi_1(x) - \phi_1'(x))dx & \int_{-1}^0 \phi_1(x)(\phi_2(x) - \phi_2'(x))dx & \int_{-1}^0 \phi_1(x)(\phi_3(x) - \phi_3'(x))dx & \int_{-1}^0 \phi_1(x)(\phi_4(x) - \phi_4'(x))dx \\ \int_{-1}^0 \phi_2(x)(\phi_1(x) - \phi_1'(x))dx & \int_{-1}^0 \phi_2(x)(\phi_2(x) - \phi_2'(x))dx & \int_{-1}^0 \phi_2(x)(\phi_3(x) - \phi_3'(x))dx & \int_{-1}^0 \phi_2(x)(\phi_4(x) - \phi_4'(x))dx \\ \int_{-1}^0 \phi_3(x)(\phi_1(x) - \phi_1'(x))dx & \int_{-1}^0 \phi_3(x)(\phi_2(x) - \phi_2'(x))dx & \int_{-1}^0 \phi_3(x)(\phi_3(x) - \phi_3'(x))dx & \int_{-1}^0 \phi_3(x)(\phi_4(x) - \phi_4'(x))dx \\ \int_{-1}^0 \phi_4(x)(\phi_1(x) - \phi_1'(x))dx & \int_{-1}^0 \phi_4(x)(\phi_2(x) - \phi_2'(x))dx & \int_{-1}^0 \phi_4(x)(\phi_3(x) - \phi_3'(x))dx & \int_{-1}^0 \phi_4(x)(\phi_4(x) - \phi_4'(x))dx \end{bmatrix} \begin{bmatrix} f_1 \\ f_2 \\ f_3 \\ f_4 \end{bmatrix} = \begin{bmatrix} -f_5 \int_{-1}^0 \phi_1(x)(\phi_5(x) - \phi_5'(x))dx \\ -f_5 \int_{-1}^0 \phi_2(x)(\phi_5(x) - \phi_5'(x))dx \\ -f_5 \int_{-1}^0 \phi_3(x)(\phi_5(x) - \phi_5'(x))dx \\ -f_5 \int_{-1}^0 \phi_4(x)(\phi_5(x) - \phi_5'(x))dx \end{bmatrix}$$

如此，便可通过计算机得到全部四个节点的值。

三，热传导模型

对于一个一维热传导微分方程： $\frac{\partial T(x,t)}{\partial t} = \lambda \frac{\partial^2 T(x,t)}{\partial x^2}$, $x \in [0, L]$ ，它的两端边界的温度已知，并且初始时刻所有节点温度已知，因此未知量为除初始时刻外时间的中间节点。

按照上面的套路，首先用插值函数重建一个近似函数： $T(x,t) \simeq \sum_{k=1}^N T_k(x,t) \phi_k(x)$

由于是线性插值，所以在一个元素内， $\frac{\partial^2 T(x,t)}{\partial x^2} = 0$

对中间节点进行强弱转换： $\int_0^L \left(\frac{\partial T}{\partial t} - \lambda \frac{\partial^2 T}{\partial x^2} \right) \phi_i(x) dx = 0$

对二阶微分项降阶：
$$\int_0^L \frac{\partial^2 T}{\partial x^2} \phi_i(x) dx = \left. \frac{\partial T}{\partial x} \phi_i(x) \right|_L^0 - \int_0^L \frac{\partial \phi_i(x)}{\partial x} \frac{\partial T}{\partial x} dx$$

由于在中间的节点中， $\phi_i(0) = \phi_i(L) = 0$ (狄利克雷边界条件)

因此直接得到：
$$-\int_0^L \frac{\partial^2 T}{\partial x^2} \phi_i(x) dx = \int_0^L \frac{\partial \phi_i(x)}{\partial x} \frac{\partial T}{\partial x} dx$$

将该二阶项带入强弱形式转换卷积方程，

得到：
$$\int_0^L \left(\frac{\partial T}{\partial t} \phi_i(x) + \lambda \frac{\partial \phi_i(x)}{\partial x} \frac{\partial T}{\partial x} \right) dx = 0, i = 2, 3, 4, \dots, N-1$$

代入插值后的近似函数 $T \simeq \sum_{k=1}^N T \phi_k(x)$

于是：

$$\sum_{k=1}^N \int_0^L \left(\frac{\partial T_k(t)}{\partial t} \phi_k(x) \phi_i(x) + \lambda T_k(t) \frac{\partial \phi_i(x)}{\partial x} \frac{\partial \phi_k(x)}{\partial x} \right) dx = 0, i = 2, 3, 4, \dots, N-1$$

为了解出时间项，还需要用欧拉后向差分：
$$\frac{\partial T_k}{\partial t} \approx \frac{T_k^{n+1} - T_k^n}{\Delta t}$$

$$\sum_{k=1}^N \left(\int_0^L \phi_k(x) \phi_i(x) dx \right) \frac{T_k^{n+1} - T_k^n}{\Delta t} + \lambda \sum_{k=1}^N T_k^{n+1} \left(\int_0^L \frac{\partial \phi_i(x)}{\partial x} \frac{\partial \phi_k(x)}{\partial x} dx \right) = 0$$

分离已知量和未知量：

$$\frac{1}{\Delta t} \sum_{k=1}^N \left(\int_0^L \phi_k(x) \phi_i(x) dx \right) T_k^{n+1} + \lambda \sum_{k=1}^N T_k^{n+1} \left(\int_0^L \frac{\partial \phi_i(x)}{\partial x} \frac{\partial \phi_k(x)}{\partial x} dx \right) = \sum_{k=1}^N \left(\int_0^L \phi_k(x) \phi_i(x) dx \right) T_k^n$$

由于插值函数是已知的，所以可以得到如下关系：

$$\int_0^L \phi_k(x) \phi_i(x) dx = \begin{cases} \frac{2\Delta x}{3} & i = k \\ \frac{\Delta x}{6} & |i - k| = 1 \\ 0 & else \end{cases}$$

$$\int_0^L \frac{\partial \phi_i(x)}{\partial x} \frac{\partial \phi_k(x)}{\partial x} dx = \begin{cases} \frac{2}{\Delta x} & i = k \\ \frac{-1}{\Delta x} & |i - k| = 1 \\ 0 & else \end{cases}$$

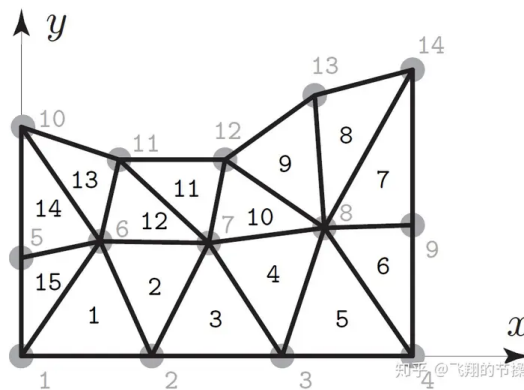
两边同时乘以 Δt ，同时除以 Δx 则得到完整的方程组：

$$\begin{bmatrix} \frac{2}{3} + \frac{2\lambda\Delta t}{\Delta x^2} & \frac{1}{6} - \frac{\lambda\Delta t}{\Delta x^2} & 0 & \dots & 0 \\ \frac{1}{6} - \frac{\lambda\Delta t}{\Delta x^2} & \frac{2}{3} + \frac{2\lambda\Delta t}{\Delta x^2} & \frac{1}{6} - \frac{\lambda\Delta t}{\Delta x^2} & \dots & 0 \\ \dots & \dots & \dots & \dots & \dots \\ 0 & 0 & \dots & \dots & \frac{2}{3} + \frac{2\lambda\Delta t}{\Delta x^2} \end{bmatrix} \begin{bmatrix} T_2^{n+1} \\ T_3^{n+1} \\ \dots \\ T_{N-1}^{n+1} \end{bmatrix} = \begin{bmatrix} \frac{1}{6}T_1^n + \frac{2}{3}T_2^n + \frac{1}{6}T_3^n - (\frac{1}{6} - \frac{\lambda\Delta t}{\Delta x^2})T_1^{n+1} \\ \frac{1}{6}T_2^n + \frac{2}{3}T_3^n + \frac{1}{6}T_4^n \\ \dots \\ \frac{1}{6}T_{N-2}^n + \frac{2}{3}T_{N-1}^n + \frac{1}{6}T_N^n - (\frac{1}{6} - \frac{\lambda\Delta t}{\Delta x^2})T_N^{n+1} \end{bmatrix}$$

可由计算机求解。

四，二维网格

例举一个二维网格：



该网格有15个单元，14个节点。并且一个单元包含3个节点，因此某一个单元可以由两两相邻的三个节点唯一标识。

比如第一单元格，三个节点分别为1，2，6节点。

还是以热传导模型举例，这次是二维平面的热传导微分方程：

$$\frac{\partial T}{\partial t} = \lambda \left(\frac{\partial^2 T}{\partial x^2} + \frac{\partial^2 T}{\partial y^2} \right), (x, y) \in \Omega$$

经过一系列套路后，它的弱形式方程与一维的例子只有很小的差别：

$$\sum_{k=1}^{n_n} \left(\int_{\Omega} \phi_k(x, y) \phi_i(x, y) d\Omega \right) \frac{T_k^{n+1} - T_k^n}{\Delta t} + \lambda \sum_{k=1}^{n_n} T_k^{n+1} \left(\int_{\Omega} \nabla \phi_i(x, y) \cdot \nabla \phi_k(x, y) d\Omega \right) = 0$$

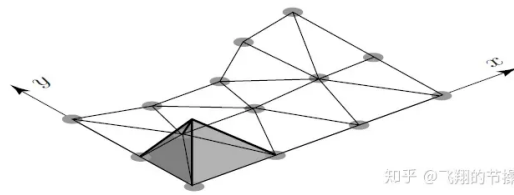
其中 n_n 表示第 n 个节点。如果要表示单元，则用 n_e 。

一般来说需要三个边界条件，一个是初始状态，一个狄利克雷条件，外加一个诺伊曼条件，也就是某一边界的热量传入功率 Q 。

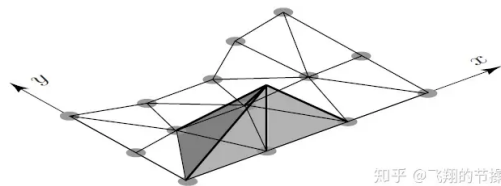
假设某一边界 D 上是绝热的，则诺伊曼条件为： $\hat{n} \cdot \nabla T|_{(x,y) \in \partial D} = Q$

按照套路，首先用插值函数离散温度函数：

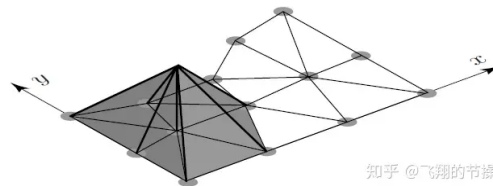
$$\begin{aligned} T(x, y, t) &\approx \sum_{k=1}^{n_n} T_k(t) \phi_k(x, y) \\ &= T_1(t) \phi_1(x, y) \\ &\quad + T_2(t) \phi_2(x, y) \\ &\quad \dots \\ &\quad + T_6(t) \phi_6(x, y) \\ &\quad \dots \\ &\quad + T_{14}(t) \phi_{14}(x, y) \end{aligned}$$



第一节点插值



第二节点插值



第六节点插值

二维的 λ 函数：
以节点1的 λ_1 为例子
1. 节点处的值为1: $\lambda_1(x_1, y_1) = 1$
2. 相连节点的函数值为0
 $\lambda_1(x_2, y_2) = 0$
 $\lambda_1(x_5, y_5) = 0$
 $\lambda_1(x_6, y_6) = 0$
2. 只有在与节点直接相连的区域不为0，例如节点1向上做长为1的直线，该直线的顶点与相连的节点(5, 6, 2)作直线相连，只有在该包含域的 λ 不为

二维弱形式可以写成矩阵的形式：

$$\sum_{k=1}^{n_n} \left(\int_{\Omega} \phi_k(x, y) \phi_i(x, y) d\Omega \right) \frac{T_k^{n+1} - T_k^n}{\Delta t} + \lambda \sum_{k=1}^{n_n} T_k^{n+1} \left(\int_{\Omega} \nabla \phi_i(x, y) \cdot \nabla \phi_k(x, y) d\Omega \right) = 0, i = 1, 2, 3, \dots, n_n$$

$$\frac{1}{\Delta t} M(d^{n+1} - d^n) + \lambda D d^{n+1} = 0$$

其中 $d^{n+1} = \{T_k^{n+1}\}_{k=1, n_n}$ ， $d^n = \{T_k^n\}_{k=1, n_n}$ ，为两个节点向量。上标代表差分的时间节点。

$M = \{M_{ik}\}_{i,k=1,n_n}$ 为质量矩阵， $D = \{D_{ik}\}_{i,k=1,n_n}$ 为热扩散矩阵。

$$M_{ik} = \int_{\Omega} \phi_k(x, y) \phi_i(x, y) d\Omega, \quad D_{ik} = \int_{\Omega} \nabla \phi_i(x, y) \cdot \nabla \phi_k(x, y) d\Omega$$

再进一步简化为： $Kd^{n+1} = f$

$$K = \frac{1}{\Delta t} M + \lambda D, \quad f = \frac{1}{\Delta t} M d^n$$

在给出的这个网格中， M 为一个 14×14 的矩阵。

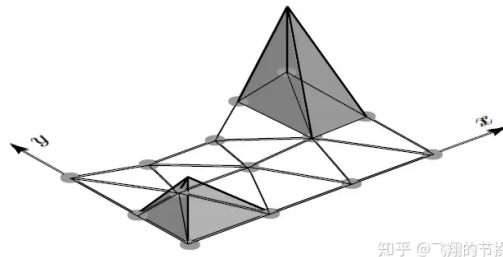
因此完整的给出该矩阵：

$$M = \begin{bmatrix} \int_{\Omega} \phi_1(x, y) \phi_1(x, y) d\Omega & \int_{\Omega} \phi_1(x, y) \phi_2(x, y) d\Omega & \dots & \int_{\Omega} \phi_1(x, y) \phi_{14}(x, y) d\Omega \\ \int_{\Omega} \phi_2(x, y) \phi_1(x, y) d\Omega & \int_{\Omega} \phi_2(x, y) \phi_2(x, y) d\Omega & \dots & \int_{\Omega} \phi_2(x, y) \phi_{14}(x, y) d\Omega \\ \dots & \dots & \dots & \dots \\ \int_{\Omega} \phi_{14}(x, y) \phi_1(x, y) d\Omega & \int_{\Omega} \phi_{14}(x, y) \phi_2(x, y) d\Omega & \dots & \int_{\Omega} \phi_{14}(x, y) \phi_{14}(x, y) d\Omega \end{bmatrix}$$

但是这个矩阵直接放到计算机里算，它的时间复杂度为 $O(n_n \times n_n)$ ，而这其中有很多元素等于零，因此不能直接放到计算机里算，还需要挑选。

问题： $\int_{\Omega} \phi_1(x, y) \phi_{14}(x, y) d\Omega$ 应该等于多少？

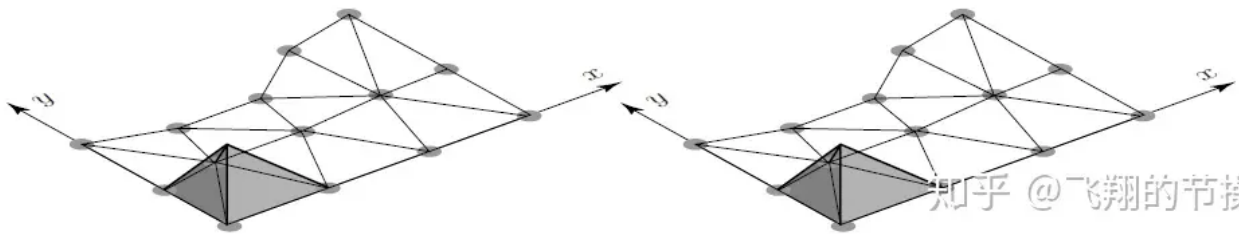
观察插值函数的图像：



第一节点和第十四节点插值函数图像

节点一和节点十四两个插值函数并没有重叠的区域，因此 $\int_{\Omega} \phi_1(x, y) \phi_{14}(x, y) d\Omega = 0$

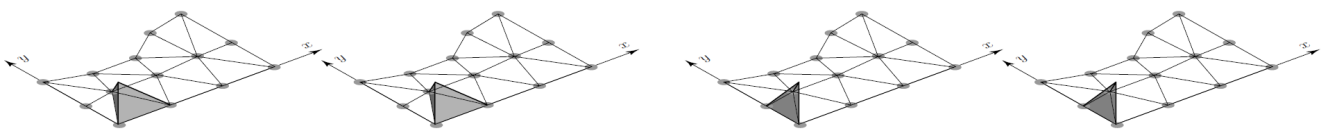
对于一个有重叠的元素： $M_{11} = \int_{\Omega} \phi_1(x, y) \phi_1(x, y) d\Omega$



第一节点的插值函数同时占据了第一单元和第十五单元

第一节点的插值函数同时占据了第一单元和第十五单元，因此可以将积分拆分为两个区域积分。

$$M_{11} = \int_{\Omega_1} \phi_1^1(x, y) \phi_1^1(x, y) d\Omega + \int_{\Omega_{15}} \phi_1^{15}(x, y) \phi_1^{15}(x, y) d\Omega$$

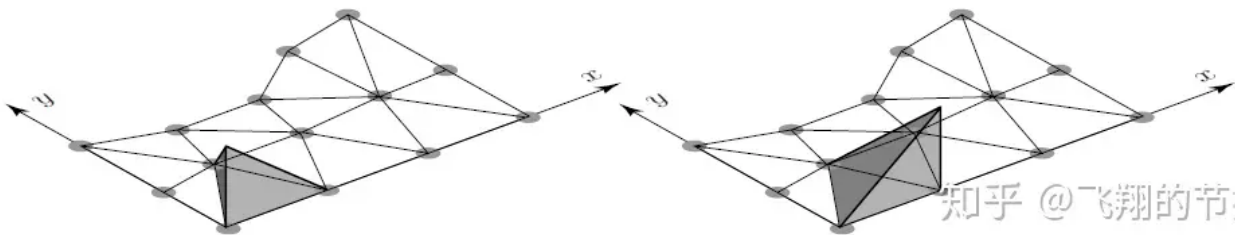


区域拆分

$\phi_i^e(x, y)$ 中， e 表示单元格的序号， i 表示构成单元格的节点序号。

同样的， $M_{12} = \int_{\Omega} \phi_1(x, y) \phi_2(x, y) d\Omega$ 也可以拆分，并保留两个插值函数重叠的部分。

$$M_{12} = \int_{\Omega_1} \phi_1^1(x, y) \phi_2^1(x, y) d\Omega$$



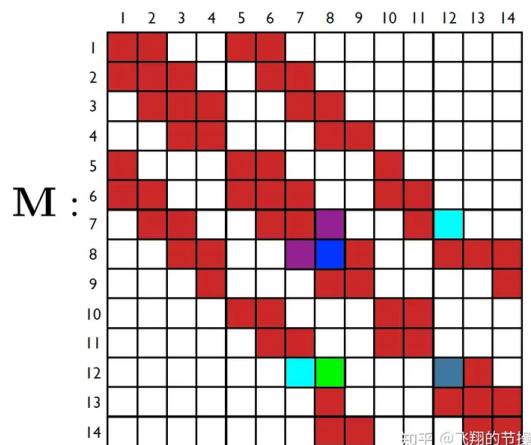
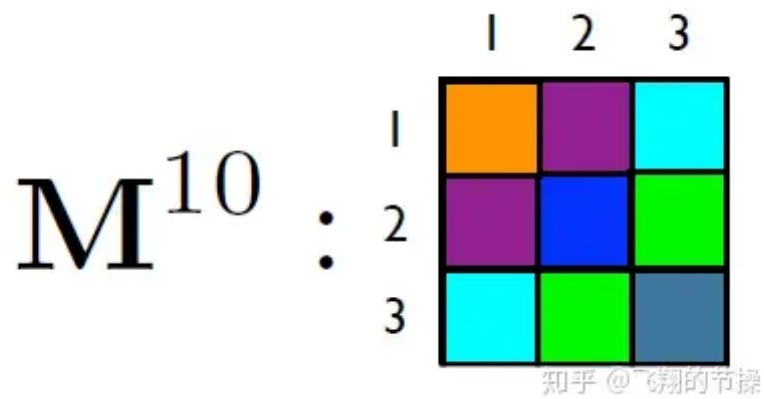
两个插值函数仅在第一单元格重叠

根据上面的原理，可以得到单一单元格的质量矩阵：

$$M_{pq}^e = \int_{\Omega_e} \phi_p^e(x, y) \phi_q^e(x, y) d\Omega$$

，该矩阵只和某一单元格和它周围三个节点有关。

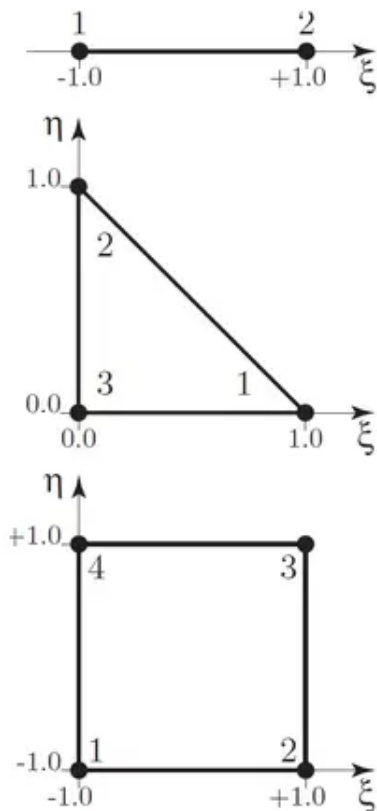
而总质量矩阵 \mathbf{M} 则是由所有单元格的质量矩阵拼装起来的。



如上图，第十单元格由节点 (7,8,12) 构成，因此拼装进总质量矩阵后需要把每个元素放入对应的点中，并和其他单元格的节点叠加。

五，等参单元

等参单元，就是设置一个简单的多边形单元格，并把它映射到模型的某个网格上。等参原理可以进一步加速卷积的运算速度。



$$x = x(\xi)$$

→

$$x = x(\xi, \eta)$$

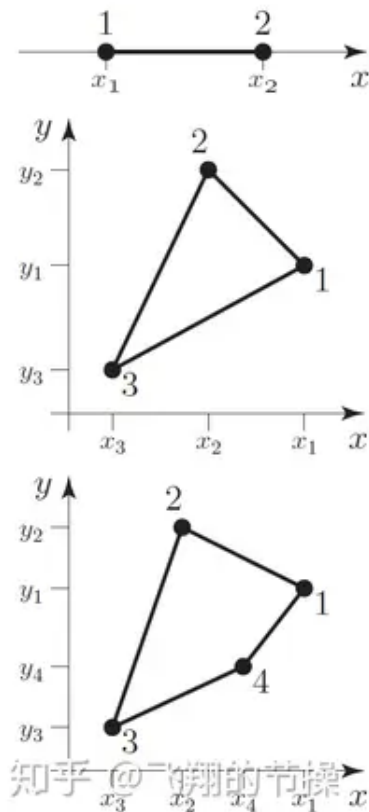
$$y = y(\xi, \eta)$$

→

$$x = x(\xi, \eta)$$

$$y = y(\xi, \eta)$$

→

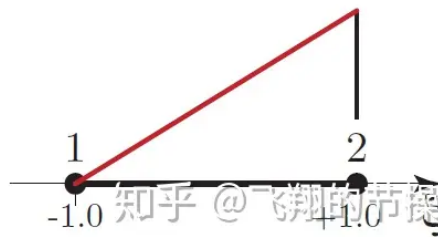
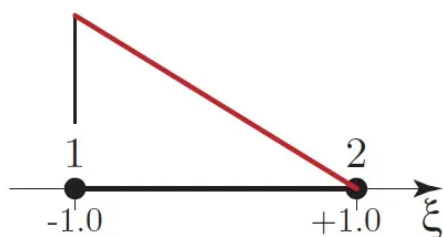


等参变量依然可以用插值函数离散化：

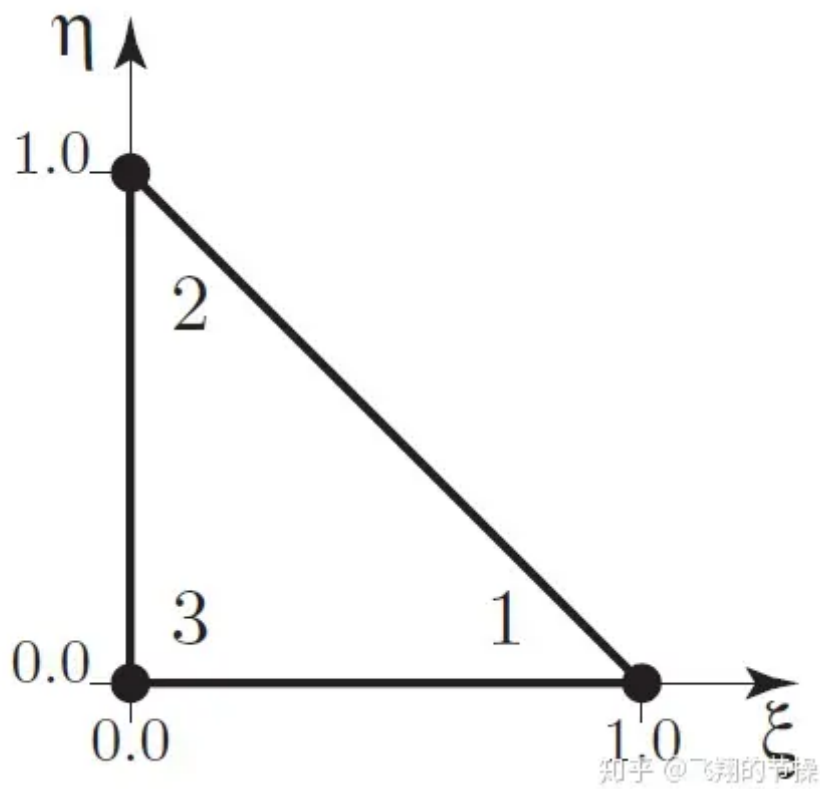
$$x(\xi, \eta) = \sum_{k=1}^{n_{en}} x_k^e \phi_k^e(\xi, \eta), \text{ 其中 } n_{en} \text{ 表示 } e \text{ 单元格的 } n \text{ 节点。}$$

线性插值等参单元：

$$\text{对于一维等参单元： } \phi_1^e(\xi) = \frac{1-\xi}{2}, \quad \phi_2^e(\xi) = \frac{1+\xi}{2}$$

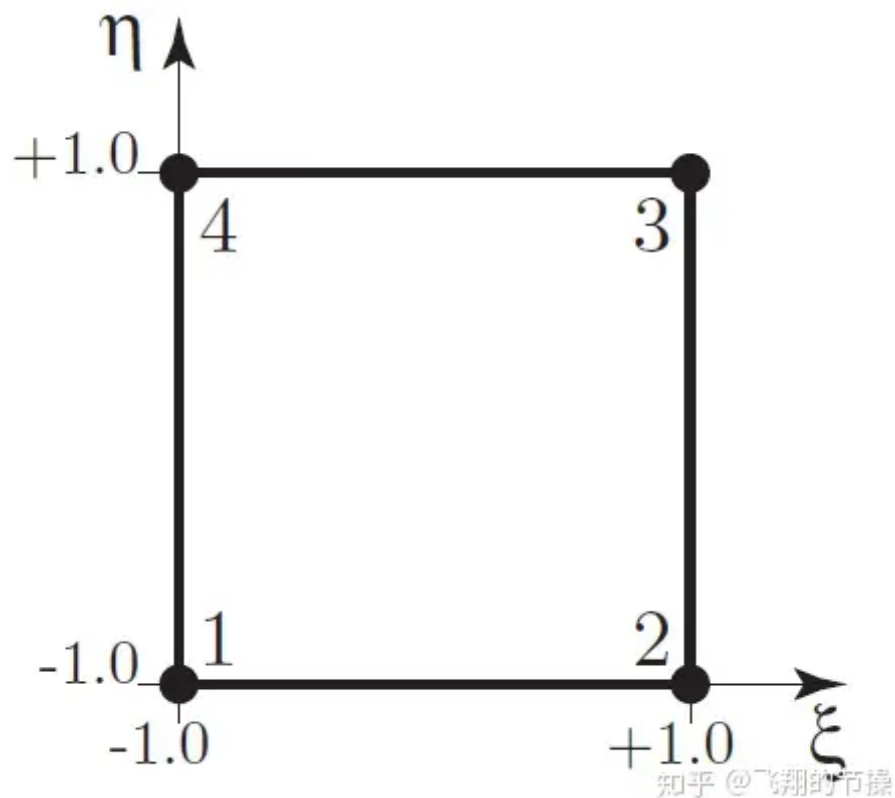


$$\text{二维三角形单元： } \phi_1^e(\xi, \eta) = \xi, \quad \phi_2^e(\xi, \eta) = \eta, \quad \phi_3^e(\xi, \eta) = 1 - \xi - \eta$$



二维四边形单元： $\phi_1^e(\xi, \eta) = \frac{(1-\xi)(1-\eta)}{4}$, $\phi_2^e(\xi, \eta) = \frac{(1+\xi)(1-\eta)}{4}$

$\phi_3^e(\xi, \eta) = \frac{(1+\xi)(1+\eta)}{4}$, $\phi_4^e(\xi, \eta) = \frac{(1-\xi)(1+\eta)}{4}$



由于坐标系的映射，所以从模型坐标系转换到等参坐标系，需要利用雅可比矩阵（jacobian matrix）。我们在小学三年级已经学过，图形在不同平面的投影面积即是雅可比矩阵的行列式的值。

$$M_{pq}^e = \int_{\Omega_e} \phi_p^e(x, y) \phi_q^e(x, y) d\Omega = \int_0^1 \int_0^{1-\eta} \phi_p^e(\xi, \eta) \phi_q^e(\xi, \eta) |det(J^e)| d\xi d\eta$$

对于例子中的一维等参单元：

$$|det(J^e)| = \left| \frac{\partial x}{\partial \xi} \right| = \left| \frac{x_2 - x_1}{2} \right| = \frac{\Delta x}{2}$$

对于三角形等参单元：

$$|det(J^e)| = \begin{vmatrix} \frac{\partial x}{\partial \xi} & \frac{\partial x}{\partial \eta} \\ \frac{\partial y}{\partial \xi} & \frac{\partial y}{\partial \eta} \end{vmatrix} = \begin{vmatrix} x_1 - x_3 & x_2 - x_3 \\ y_1 - y_3 & y_2 - y_3 \end{vmatrix}$$

以例子中的第十模型网格和三角形等参单元举例，第十网格的三个节点 (7, 8, 12) 对应等参单元的三个节点 (1, 2, 3)。那么第十网格的单元质量矩阵如下：

$$M_{pq}^{10} = \begin{bmatrix} \int_{\Omega_{10}} \phi_7^{10}(x, y) \phi_7^{10}(x, y) d\Omega & \int_{\Omega_{10}} \phi_7^{10}(x, y) \phi_8^{10}(x, y) d\Omega & \int_{\Omega_{10}} \phi_7^{10}(x, y) \phi_{12}^{10}(x, y) d\Omega \\ \int_{\Omega_{10}} \phi_8^{10}(x, y) \phi_7^{10}(x, y) d\Omega & \int_{\Omega_{10}} \phi_8^{10}(x, y) \phi_8^{10}(x, y) d\Omega & \int_{\Omega_{10}} \phi_8^{10}(x, y) \phi_{12}^{10}(x, y) d\Omega \\ \int_{\Omega_{10}} \phi_{12}^{10}(x, y) \phi_7^{10}(x, y) d\Omega & \int_{\Omega_{10}} \phi_{12}^{10}(x, y) \phi_8^{10}(x, y) d\Omega & \int_{\Omega_{10}} \phi_{12}^{10}(x, y) \phi_{12}^{10}(x, y) d\Omega \end{bmatrix}$$

那么它的第一行第一列的元素经过等参变换后：（ e 表示等参单元。）

$$\int_0^1 \int_0^{1-\eta} \phi_1^e(\xi, \eta) \phi_1^e(\xi, \eta) |det(J^{10})| d\xi d\eta$$

第三行第二列：

$$\int_0^1 \int_0^{1-\eta} \phi_3^e(\xi, \eta) \phi_2^e(\xi, \eta) |det(J^{10})| d\xi d\eta$$

对于热扩散矩阵 D ，则熟练运用微积分的链式法则：

$$\frac{\partial \phi_i(x, y)}{\partial x} = \frac{\partial \phi_i^e(\xi, \eta)}{\partial x} = \frac{\partial \phi_i^e}{\partial \xi} \frac{\partial \xi}{\partial x} + \frac{\partial \phi_i^e}{\partial \eta} \frac{\partial \eta}{\partial x}$$

写成向量的形式也就是：

$$\nabla_{x,y} \phi_i(x, y) = (J^e)^{-T} \nabla_{\xi,\eta} \phi_i^e(\xi, \eta)$$

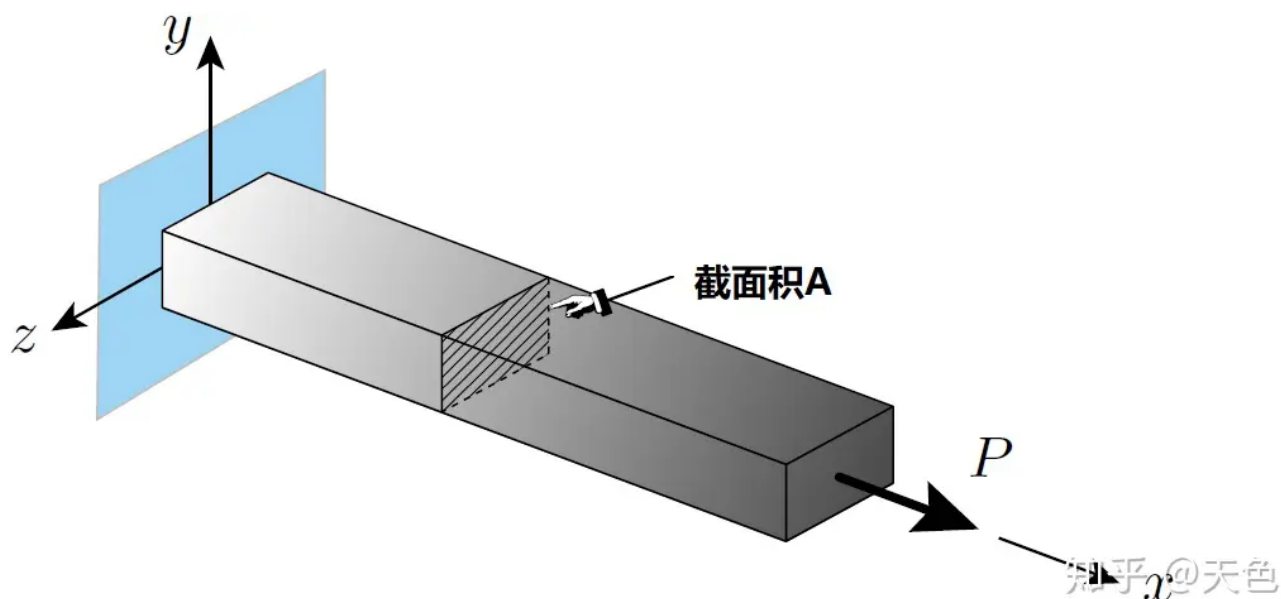
举个例子：

$$D_{87}^{10} = \int_{\Omega_{10}} \nabla \phi_8(x, y) \cdot \nabla \phi_7(x, y) d\Omega$$

它就等于

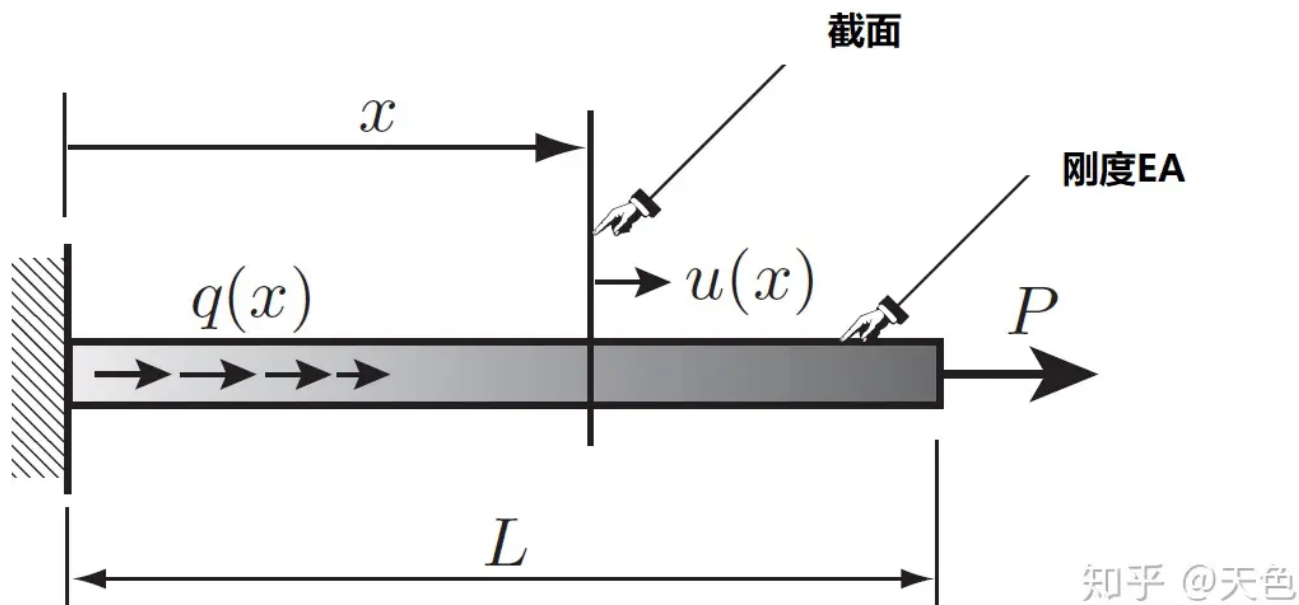
$$\int_0^1 \int_0^{1-\eta} \left((J^{10})^{-T} \nabla_{\xi, \eta} \phi_2^e(\xi, \eta) \right) \cdot \left((J^{10})^{-T} \nabla_{\xi, \eta} \phi_1^e(\xi, \eta) \right) |det(J^{10})| d\xi d\eta$$

六，结构力学应用一，轴向拉伸杆



一个简单的例子

杆的端点收到一个 P 的拉力，弹性模量为 E ，杆长度为 L



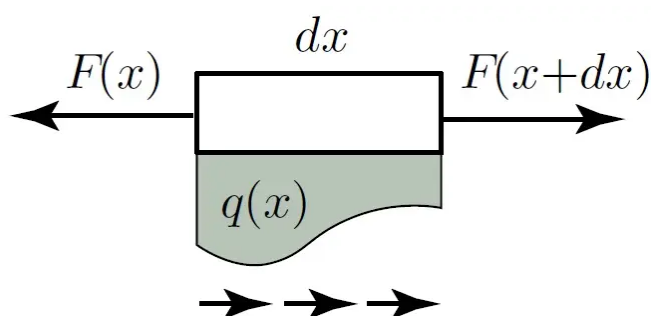
$q(x)$ 为轴向线载荷， $u(x)$ 为截面轴向位移

如此可以得到几个简单公式：

应变 $\epsilon = \frac{du}{dx}$ ，应力 $\sigma = E\epsilon$ ，内力 $F = A\sigma = EA\epsilon$

由静力平衡原理可以得到平衡方程： $F(x+dx) - F(x) + q(x)dx = 0$

移项得到一个微分方程： $\frac{dF(x)}{dx} = -q(x)$



胡克定理： $F(x) = EA\epsilon(x)$

组合三个方程，形成一个新的微分方程： $\frac{d}{dx} \left(EA \frac{du}{dx} \right) + q(x) = 0, x \in [x, L]$

在有限元的应用中，截面位移 $u(x)$ 是要求解的未知量，因此按照套路，首先要把它用插值函数离散化：

$u(x) \approx \sum_{k=1}^N u_k \phi_k(x)$ ，再把线载荷也给离散化 $q(x) \approx \sum_{k=1}^N q_k \phi_k(x)$

狄利克雷边界条件： $u(x=0) = 0 \rightarrow u_1 = 0$

诺伊曼条件： $F(L) = P \rightarrow F_N = P$

强弱转换： $\int_0^L \left(\phi_i(x) \frac{d}{dx} \left(EA \frac{du}{dx} \right) + q(x) \phi_i(x) \right) dx = 0$

给二阶微分项降阶： $\int_0^L \phi_i(x) \frac{d}{dx} \left(EA \frac{du}{dx} \right) dx = \phi_i(x) EA \frac{du}{dx} \Big|_0^L - \int_0^L EA \frac{du}{dx} \frac{d\phi_i(x)}{dx} dx$

由于 $F(L) = EA\epsilon(L) = P$

因此 $\phi_i(x) EA \frac{du}{dx} \Big|_0^L = \phi_i(x) P$

整理得到最终的弱形式： $\int_0^L EA \frac{du}{dx} \frac{d\phi_i(x)}{dx} dx = \phi_i(x) P + \int_0^L q(x) \phi_i(x) dx$

$i = 2, 3, \dots, N$

带入插值后的函数： $\sum_{k=1}^N \int_0^L EA u_k \frac{d\phi_k(x)}{dx} \frac{d\phi_i(x)}{dx} dx = \phi_i(x) P + \sum_{k=1}^N \int_0^L q_k \phi_k(x) \phi_i(x) dx$

到这里，就和之前的热传导模型很像了，转化为矩阵表达，该矩阵就叫刚度矩阵。

其实还有几个例子，比如桁架结构和板壳结构的应用，但是写到这里感觉人生索然无味，就这样吧。

编辑于 2021-02-28 · 著作权归作者所有